

УДК 538.22

© 1992

## МАГНИТНЫЕ СВОЙСТВА, ЯМР- и ИК-СПЕКТРОСКОПИЯ ПИРОХЛОРОВ $A_2Mn_2O_7$ ( $A = Se, In, Tl$ , РЕДКОЗЕМЕЛЬНЫЙ ИОН)

И. О. Троянчук

Проведено исследование магнитных и электрических свойств мanganатов со структурой пирохлора. Показано, что редкоземельные мanganаты являются ферромагнитными диэлектриками с сильным положительным  $f-d$  обменным взаимодействием, тогда как  $Tl_2Mn_2O_7$  — ферромагнитный полупроводник, а перовскит  $TlMnO_3$  — параметический металл. Обсуждаются механизмы обменных взаимодействий и электропроводности. Результаты спектроскопических и магнитных исследований указывают на химическую формулу  $(A_{1-x}M_{x})_2(M_{1-y}A_y)_2O_7-y$ , причем  $x$  и  $y$  уменьшаются с ростом радиуса А-катиона.

В работах [1, 2] сообщалось о синтезе, некоторых свойствах и кристаллоструктурных исследованиях пирохлоров  $A_2Mn_2O_7$  ( $A = Sc, In, Tl$ , тяжелый редкоземельный ион). Эти соединения получены методом твердофазных реакций под высоким давлением [1], а также в гидротермальных условиях [2] и характеризуются кубической элементарной ячейкой (пространственная группа  $Fd\bar{3}m$ ). В результате исследования магнитных свойств установлено, что намагниченность соответствует ферромагнитному упорядочению; определены температуры Кюри некоторых соединений [1]. В настоящей работе продолжено изучение магнитных и электрических свойств, впервые сообщаются результаты исследования мanganатов методом ЯМР- и ИК-спектроскопий.

Намагниченность измерялась вибрационным магнитометром, динамическая магнитная восприимчивость — мостом взаимной индукции. ИК-спектры поглощения получены в интервале 4000—250  $\text{см}^{-1}$  методом CsI-таблеток. Спектры ЯМР записаны на автоматическом спектрометре спинового эха в диапазоне 200—800 МГц. Электропроводность измерялась четырехзондовым методом.

С целью изучения катионного распределения и дефектности пирохлоров проведены исследования  $In_2Mn_2O_7$  и  $Sc_2Mn_2O_7$ , методом ЯМР-спектроскопии. В  $Sc_2Mn_2O_7$  сигналы спинового эха не обнаружены. Возможно, это обусловлено низкой температурой Кюри этого соединения ( $T_c = 15 \text{ K}$ ). Следует отметить, что данных по ЯМР-спектроскопии пирохлоров в литературе мы не обнаружили.

Спектр ЯМР  $In_2Mn_2O_7$  состоит из трех характерных групп линий (рис. 1, 2). В интервале 220—320 МГц зафиксировано не менее 6 линий. Линии в интервале 330—440 МГц очень слабы по интенсивности и размыты по частоте. Возможно, это сигнал от одного сильно анизотропного примесного центра. Спектр ЯМР в интервале частот от 595 до 633 МГц состоит из трех линий. По аналогии с другими ферромагнитными оксидами марганца [3, 4] сигналы в интервале частот 220—320 МГц можно отнести к ионам  $Mn^{4+}$ . Интервал 330—440 МГц характерен для ионов  $Mn^{3+}$ , и в интервале 595—633 МГц обычно наблюдают сигналы от ионов  $Mn^{2+}$  [3, 4]. Сигналы от ионов  $In^{3+}$ , как правило, имеют очень большую ширину и наблюдаются в области частот 100—200 МГц [5].

Линия на частоте 293.3 МГц намного превосходит по интенсивности другие линии. Ее ширина на полувысоте около 3 МГц, что значительно меньше ширины

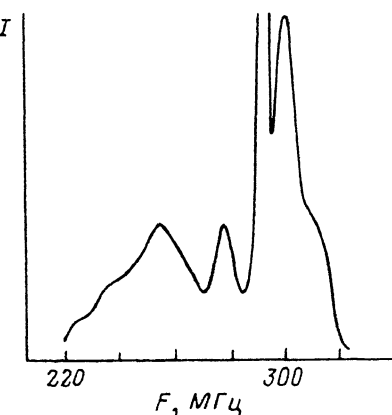


Рис. 1. ЯМР-спектр  $\text{In}_2\text{Mn}_2\text{O}_7$  в интервале 220—320 МГц.

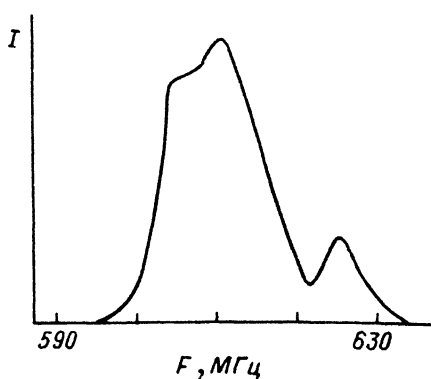


Рис. 2. ЯМР-спектр  $\text{In}_2\text{Mn}_2\text{O}_7$  в интервале 590—640 МГц.

сигналов ЯМР  $^{55}\text{Mn}$  в других ферримагнетиках. Естественно предположить, что эта линия обусловлена ионами  $\text{Mn}^{4+}$ , расположенными в неискаженных октаэдрах  $\text{BO}_6$  структуры пирохлора  $\text{A}_2\text{B}_2\text{O}_7$ .

Появление сигналов от ионов  $\text{Mn}^{2+}$  означает, что для компенсации заряда должны появляться ваканции по кислороду. Известно, что седьмая часть анионов кислорода в позиции 8a структуры пирохлора может вообще отсутствовать. Образование вакансии кислорода в позициях 48f, по-видимому, менее вероятно. Увеличение частоты сигнала по отношению к основной линии указывает на возрастание ионной составляющей химической связи [3]. Поэтому линии с частотой более 293.3 МГц могут быть обусловлены ионами  $\text{Mn}^{4+}$  в октаэдрах  $\text{MnO}_6$ , вблизи которых находится вакансия по кислороду в позиции 8a, или ионами  $\text{Mn}^{4+}$ , замещающими ионы  $\text{In}^{3+}$  в полизэдрах  $\text{AO}_6$  или  $\text{AO}_7$ . С уменьшением координационного числа обычно увеличивается ковалентная составляющая связи [3], что должно привести к уменьшению частоты сигнала. Поэтому более низкую частоту по отношению к основной линии могут иметь ионы  $\text{Mn}^{4+}$  с вакансиями по кислороду в позициях 48f в ближайшем анионном окружении. Кроме того, обрыв обменных связей вследствие катионного перераспределения также может привести к появлению сателлитов с более низкой частотой.

Наиболее вероятно, что линии на частотах 607 и 611 МГц обусловлены ионами  $\text{Mn}^{2+}$  в А-подрешетке с вакансиями по кислороду в позициях 8a. Распределение может быть обусловлено разным катионным окружением. Линия на частоте 625 МГц может принадлежать ионам  $\text{Mn}^{2+}$  в А-положениях с вакансиями по кислороду в позициях 48f. С учетом сказанного формулу мanganатов со структурой пирохлора можно приблизенно выразить следующим образом:



причем параметры  $x$  и  $\gamma$ , по-видимому, уменьшаются с ростом ионного радиуса А-катиона. Некоторые факты в пользу этого утверждения получены из магнитных измерений и ИК-спектроскопии. Магнитные моменты на формальную единицу при 4.2 К соединений  $\text{Sc}_2\text{Mn}_2\text{O}_7$ ,  $\text{In}_2\text{Mn}_2\text{O}_7$  и  $\text{Lu}_2\text{Mn}_2\text{O}_7$  равны  $3.8 \mu_B$  и  $4.4 \mu_B$  и  $4.8 \mu_B$  соответственно. Следовательно, с ростом ионного радиуса А-катиона магнитный момент увеличивается. Это может быть обусловлено уменьшением степени перераспределения катионов по подрешеткам.

Набор колебательных мод кубических пирохлоров  $\text{A}_2\text{B}_2\text{O}_7$ :

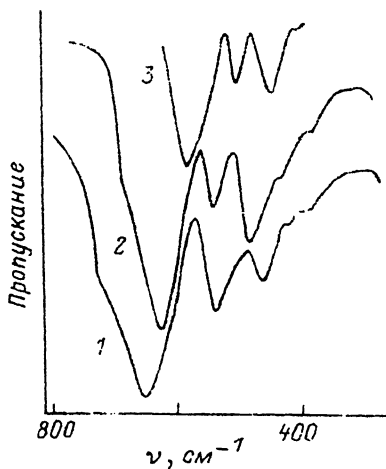


Рис. 3. ИК-спектры поглощения пирохлоров  $A_2Mn_2O_7$  с  $A = Sc$  (1),  $In$  (2),  $Tb$  (3).

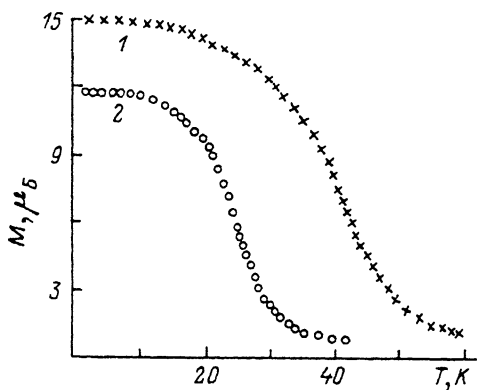


Рис. 4. Зависимость магнитного момента на формульную единицу от температуры пирохлоров  $Tb_2Mn_2O_7$  (1) и  $Er_2Mn_2O_7$  (2) в поле  $8 \cdot 10^3$  А/м.

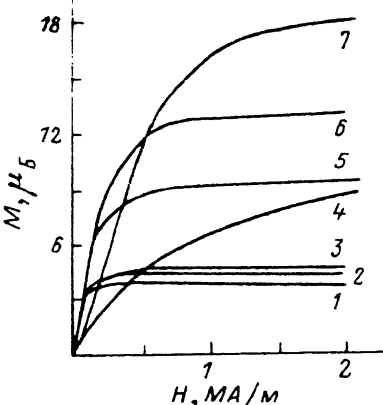
$$\Gamma = A_{1u} + 2A_{2u} + 3E_u + 8F_{1u} + 4F_{2u} + A_{1g} + E_g + 2F_{1g} + 4F_{2g}.$$

Из них активными в комбинационном рассеянии являются 6 мод  $A_{1g} + E_g + 4F_{2g}$  и активными в ИК-поглощении 7 мод  $F_{1u}$ . ИК-спектры представлены на рис. 3. В соединении  $Sc_2Mn_2O_7$  можно выделить 7 максимумов поглощения на частотах  $725, 660, 542, 510, 475, 430$  и  $400\text{ cm}^{-1}$ . Кроме того, около  $250\text{ cm}^{-1}$  (предельная частота прибора) наблюдался резкий рост поглощения. Плечо на частоте  $510\text{ cm}^{-1}$  обнаружено только в скандиевом пирохлоре. С ростом радиуса А-катаиона постепенно исчезает самая высокочастотная особенность в спектрах (рис. 1). Известно, что в титанатах, германатах и рутенатах со структурой пирохлора один из самых сильных пиков поглощения находится вблизи  $100\text{ cm}^{-1}$  [6]. ИК-спектроскопия является методом, чувствительным к локальным искажениям структуры, обусловленным дефектами. Поэтому мы полагаем, что некоторые пики поглощения в колебательных спектрах мanganатов обусловлены локальными колебаниями, связанными с дефектностью структуры. Уменьшение полос поглощения с ростом радиуса А-катаиона, возможно, обусловлено уменьшением дефектности пирохлоров.

С увеличением ионного радиуса А-иона возрастают длины связей Mn—O в октаэдре  $MnO_6$ . Это должно сопровождаться понижением частоты колебательных мод, обусловленных колебаниями ионов в октаэдре  $MnO_6$ . Такая корреляция четко прослеживается для высокочастотных колебаний, которые, согласно [6], обусловлены колебаниями октаэдров  $VO_6$ . Частота самой интенсивной полосы поглощения уменьшается с  $660\text{ cm}^{-1}$  ( $A = Sc$ ) до  $595\text{ cm}^{-1}$  ( $A = Tb$ ). Частоты длинноволновых колебаний, как правило, также уменьшаются с ростом радиуса А-катаиона, однако в  $In_2Mn_2O_7$  увеличиваются по отношению к  $Sc_2Mn_2O_7$ , хотя радиус иона  $Sc^{3+}$  значительно меньше радиуса иона  $In^{3+}$ . По-видимому, низкочастотное поглощение обусловлено сложными колебаниями, в которых участвуют как А-, так и В-катионы.

Обычно в магнетиках, содержащих  $3d$  и  $4f$  ионы, температура Кюри определяется  $3d$ -подсистемой, магнитные моменты редкоземельных ионов упорядочиваются при температурах, значительно меньших  $T_c$  [7]. Именно эта ситуация реализуется в редкоземельных ванадатах со структурой пирохлора [8]. В редкоземельных мanganатах редкоземельная подсистема играет более активную роль

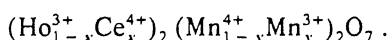
Рис. 5. Зависимость магнитного момента от поля пирохлоров  $A_2Mn_2O_7$  с  $A = Sc$  (1),  $In$  (2),  $Lu$  (3),  $Tm$  (4),  $Yb$  (5),  $Er$  (6) и  $Tb$  (7).



обмена положителен для всех известных типов пирохлоров [8–11], тогда как для ферримагнетиков со структурой граната и перовскита знак  $f-d$  обмена отрицателен [7, 12]. На рис. 5 представлены зависимости намагниченности от поля. Большинство редкоземельных мanganатов характеризуется незначительным парапроцессом. Исключением является мanganат туллия, в котором насыщения намагниченности в полях до 2 МА/м не наблюдалось. Интересно отметить, что соединения  $Lu_2Mn_2O_7$  и  $Tm_2Mn_2O_7$  имеют самые низкие  $T_c$  в ряду редкоземельных мanganатов. Температуры Кюри  $Lu_2Mn_2O_7$  и  $Tm_2Mn_2O_7$ , равны 9 и 14 К, тогда как для  $Yb_2Mn_2O_7$   $T_c = 23$  К, а у  $Tb_2Mn_2O_7$   $T_c = 38$  К.

В перовските  $CaMnO_3$  (угол  $Mn-O-Mn$  равен 157°) обменные взаимодействия  $Mn^{4+}-Mn^{4+}$  антиферромагнитны, тогда как в шпинелях 90-градусное  $Mn^{4+}-Mn^{4+}$  обменное взаимодействие ферромагнитно [9]. По-видимому, обменное взаимодействие между ионами четырехвалентного марганца меняет знак при углах  $Mn-O-Mn$ , близких к 130°. Смена знака обменных взаимодействий при уменьшении угла  $B-O-B$  ( $B - 3d^n$ -катион, причем  $n \leq 3$ ) наблюдалась в оксидах со структурой перовскита и пирохлора, содержащих ионы  $Ti^{3+}$ ,  $V^{4+}$ ,  $Cr^{4+}$  и, по-видимому,  $Cr^{3+}$  [10, 11]. В кристаллической решетке пирохлора антиферромагнитные обменные взаимодействия топологически фрустрированы [8]. Поэтому в случае наличия конкуренции ферромагнитных и антиферромагнитных обменных взаимодействий ферромагнитное упорядочение может оказаться более выгодным.

Электропроводность образцов редкоземельных мanganатов колеблется в пределах  $10^6-10^8$  Ом $^{-1} \cdot$  см $^{-1}$  при  $T = 293$  К, энергия активации в температурном интервале 293–420 К составляет 0.3–0.4 эВ. Мы попытались легировать гольмийевый мanganат четырехвалентным церием. Предполагалось, что произойдет замещение типа



Однако, несмотря на однофазность образцов до  $x \leq 0.1$ , электропроводность возросла незначительно. По-видимому, наличие ионов  $Mn^{3+}$  в В-подрешетке сильно не сказывается на электропроводности редкоземельных мanganатов. Таллиевый пирохлор характеризуется относительно высокой электропроводностью порядка  $1 \cdot 10$  Ом $^{-1} \cdot$  см $^{-1}$  при комнатной температуре. При переходе в paramagnитное состояние электропроводность уменьшается в пять раз. Выше  $T_c$  электропроводность имеет активационный характер. Знак термоэдс соответствует  $n$ -типу носителей.

в обменных взаимодействиях. На рис. 4 изображены зависимости намагниченности от температуры для  $Er_2Mn_2O_7$  и  $Tb_2Mn_2O_7$ . В области температур ниже  $0.5 T_c$  намагниченность меняется слабо, что характерно для упорядоченной  $f$ -подсистемы.

Магнитный момент редкоземельных мanganатов намного больше, чем в пирохлорах с диамагнитными ионами А. Это указывает на параллельное упорядочение магнитных моментов  $f$ - и  $d$ -подсистем, что может быть только в случае положительного  $f-d$  обмена. Знак  $f-d$

обмена положителен для всех известных типов пирохлоров [8–11], тогда как для ферримагнетиков со структурой граната и перовскита знак  $f-d$  обмена отрица-

телен [7, 12]. На рис. 5 представлены зависимости намагниченности от поля. Большинство редкоземельных мanganатов характеризуется незначительным парапроцессом. Исключением является мanganат туллия, в котором насыщения

намагниченности в полях до 2 МА/м не наблюдалось. Интересно отметить, что соединения  $Lu_2Mn_2O_7$  и  $Tm_2Mn_2O_7$  имеют самые низкие  $T_c$  в ряду редкоземельных мanganатов. Температуры Кюри  $Lu_2Mn_2O_7$  и  $Tm_2Mn_2O_7$ , равны 9 и 14 К, тогда как для  $Yb_2Mn_2O_7$   $T_c = 23$  К, а у  $Tb_2Mn_2O_7$   $T_c = 38$  К.

В перовските  $CaMnO_3$  (угол  $Mn-O-Mn$  равен 157°) обменные взаимодействия  $Mn^{4+}-Mn^{4+}$  антиферромагнитны, тогда как в шпинелях 90-градусное  $Mn^{4+}-Mn^{4+}$  обменное взаимодействие ферромагнитно [9]. По-видимому, обменное взаимо-

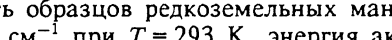
действие между ионами четырехвалентного марганца меняет знак при углах  $Mn-O-Mn$ , близких к 130°. Смена знака обменных взаимодействий при умень-

шении угла  $B-O-B$  ( $B - 3d^n$ -катион, причем  $n \leq 3$ ) наблюдалось в оксидах со структурой перовскита и пирохлора, содержащих ионы  $Ti^{3+}$ ,  $V^{4+}$ ,  $Cr^{4+}$  и, по-видимому,  $Cr^{3+}$  [10, 11]. В кристаллической решетке пирохлора антиферро-

магнитные обменные взаимодействия топологически фрустрированы [8]. Поэтому в случае наличия конкуренции ферромагнитных и антиферромагнитных обмен-

ных взаимодействий ферромагнитное упорядочение может оказаться более вы-годным.

Электропроводность образцов редкоземельных мanganатов колеблется в пре-делах  $10^6-10^8$  Ом $^{-1} \cdot$  см $^{-1}$  при  $T = 293$  К, энергия активации в температурном интервале 293–420 К составляет 0.3–0.4 эВ. Мы попытались легировать гольмийевый мanganат четырехвалентным церием. Предполагалось, что произойдет замещение типа



Однако, несмотря на однофазность образцов до  $x \leq 0.1$ , электропроводность возросла незначительно. По-видимому, наличие ионов  $Mn^{3+}$  в В-подрешетке сильно не сказывается на электропроводности редкоземельных мanganатов. Таллиевый пирохлор характеризуется относительно высокой электропроводностью порядка  $1 \cdot 10$  Ом $^{-1} \cdot$  см $^{-1}$  при комнатной температуре. При переходе в paramagnитное состояние электропроводность уменьшается в пять раз. Выше  $T_c$  электропроводность имеет активационный характер. Знак термоэдс соответствует  $n$ -типу носителей.

Чтобы лучше понять аномальные электрические свойства таллиевого мангната, мы получили под высоким давлением и исследовали свойства первоскитов  $\text{TiFeO}_3$  и  $\text{TiMnO}_3$ . Эти соединения впервые были получены в работе [13]. Однако об их магнитных и электрических свойствах не сообщалось. Согласно нашим исследованиям, эти соединения характеризуются металлической проводимостью и слабой зависимостью магнитной восприимчивости от температуры.

Мы полагаем, что в  $\text{TiFeO}_3$  и  $\text{TiMnO}_3$  широкая зона проводимости, образованная  $6s$ - и  $2p$ -состояниями ионов таллия и кислорода, перекрывается с узкими  $3d$ -зонами ионов железа и марганца. В  $\text{Ti}_2\text{Mn}_2\text{O}_7$  такая широкая зона может перекрываться только с вакантной узкой  $e_g^*$ -зоной, так как магнитный момент иона  $\text{Mn}^{4+}$  близок к значению  $2.6 \mu_B$ , которое характерно для диэлектриков, и проводимость выше  $T_c$ -полупроводниковая. Однако резкие аномалии электрических свойств вблизи  $T_c$  характерны для соединений, у которых проводимость осуществляется по узкой  $3d$ -зоне. Можно предположить, что  $\text{Ti}_2\text{Mn}_2\text{O}_7$ , характеризуется высокой диэлектрической проницаемостью и примесные комплексы с участием ионов  $\text{Mn}^{3+}$  образуют мелкие донорные уровни к узкой зоне из  $e_g$ -орбиталей  $\text{Mn}^{4+}$ ,  $2p$ -орбиталей кислорода и, возможно,  $6s$ -орбиталей таллия. Проводимость может осуществляться возбуждением на край подвижности этой зоны или термически активированными прыжками по примесным центрам.

В заключение автор выражает благодарность А. А. Шемякову и В. К. Прокопенко за измерение спектров ЯМР.

#### Список литературы

- [1] Троянчук И. О., Деркаченко В. Н. // ФТТ. 1988. Т. 30. № 11. С. 3487—3489.
- [2] Subramanian M. A., Torardi C. C., Johnson D. C. // Solid State Chem. 1988. V. 72. N 1. P. 78—91.
- [3] Kubo T., Yasuoka H., Hirai A. // J. Phys. Japan. 1966. V. 21. N 2. P. 812—824.
- [4] Troyanchuk I. O., Bashkirov L. A., Shemyakov A. A. // Phys. Stat. Sol. (a). 1988. V. 109. N 1. P. K59—K61.
- [5] Miuhara Y., Iida S. // J. Phys. Soc. Japan. 1972. V. 32. N 3. P. 858—859.
- [6] Фомичев В. В., Кочергина Л. Л., Оликов И. И. // Журн. неорг. химии. 1985. Т. 30. В. 3. С. 612—615.
- [7] Белов К. П. Редкоземельные магнетики и их применение. М.: Наука, 1980. 240 с.
- [8] Троянчук И. О., Деркаченко В. Н. // ФТТ. 1989. Т. 31. № 7. С. 241—242.
- [9] Гуденаф Д. Магнетизм и химическая связь. М.: Металлургия, 1968. 325 с.
- [10] Базуев Н. В., Швейкин Г. П. Сложные оксиды элементов с достраивающимися  $d$ - и  $f$ -оболочками. М.: Наука, 1985. 286 с.
- [11] Bougers P. F., Von Meurs E. R. // J. Appl. Phys. 1967. V. 38. N 3. P. 944—945.
- [12] Троянчук И. О., Попов Ю. Ф., Коршиков Ф. П., Башкиров Л. А. // ФТТ. 1989. Т. 31. № 2. С. 281—283.
- [13] Висков А. С., Зубова Е. В., Бурдина К. Н., Веневцев Ю. Н. // Кристаллография. 1970. Т. 15. № 3. С. 1071—1075.

Институт физики твердого тела  
и полупроводников  
АН Беларуси  
Минск

Поступило в Редакцию  
7 февраля 1992 г.